



## تأثیر میکرو ساختار فولاد CK45 بر وقوع پدیده نرم شدگی آکوستیکی

میردادود حسینی<sup>1</sup>, مقصود شلوندی<sup>2\*</sup>, آیدین سلیمی اصل<sup>3</sup>

1- دانشجوی کارشناسی ارشد، مهندسی مکانیک، دانشگاه تبریز، تبریز

2- استادیار، مهندسی مکانیک، دانشگاه تبریز، تبریز

3- استادیار، مهندسی مکانیک، دانشگاه پیام نور، تهران

\* تبریز، صندوق پستی ۵۱۶۶۶۱۵۴۷۱

### چکیده

امواج ارتعاشی با فرکانس بیشتر از 20kHz که تحت عنوان ارتعاشات اولتراسونیک شناخته می‌شود، در بسیاری از روش‌های تولیدی و فرآیندهای مهندسی به کار گرفته می‌شود. در این مقاله به بررسی وقوع پدیده نرم شدگی آکوستیکی در نمونه‌های فولادی با سه نوع میکرو ساختار مقاومت پرداخته شده است. برای این مظاومه توسط عملیات حرارتی آستمپرینگ و کوئنچ نمونه‌هایی با ریزساختارهای بینیتی و مارتنتی ایجاد گردید. بعد از آن نمونه‌ها جهت انجام آزمون توسط روش المان محدود آنالیز مودال در نرم افزار انسیس طوری به دست آورده شد که فرکانس رزوئناس نمونه با فرکانس رزوئناس ترانسducer برابر باشد. با توجه به این که در اعمال ارتعاشات اولتراسونیک، تنفس موسم به تن ارتعاشی به شبکه کریستالی وارد می‌شود، لذا تنفس فوق سبب حرکت نابجایی‌ها گشته و باعث کاهش استحکام تسلیم و استحکام نهایی نمونه می‌گردد. در این مقاله با اعمال ارتعاشات اولتراسونیک با شدت 55 W/cm<sup>2</sup> به مقدار 18, 12, 8, 4 درصد از استحکام تسلیم نمونه‌ها را ریزساختار فریتی و پرلتی، بینیتی و همچنین مارتنتی کاسته می‌شود. به علت جذب انرژی ارتعاشات توسط نابجایی‌ها، شکل دهنده و فرم دهنده این مواد با صرف نیروی کمتر انجام می‌گیرد. همچنین در این مقاله از مدل ریاضی ارائه شده موجود برای نرم شدگی آکوستیکی استفاده و مشخص شد که همبستگی مناسبی بین مدل‌سازی عددی ارائه شده توسط سایر محققین و نتایج آزمایش‌های تجربی در این مقاله وجود دارد.

### اطلاعات مقاله

مقاله پژوهشی کامل

دریافت: 29 بهمن 1396

پذیرش: 26 فروردین 1397

ارائه در سایت: 27 اردیبهشت 1397

کلید واژگان:

ارتعاشات اولتراسونیک

تنفس

نرم شدگی آکوستیکی

ریزساختار

## Effect of Micro structure on Acoustic Softening of CK45 Steel

Mir Davoud Hosseini<sup>1</sup>, Maghsoud Shalvandi<sup>1\*</sup>, Aydin Salimiasi<sup>2</sup>

1- Department of Mechanical Engineering, University of Tabriz, Tabriz, Iran

2- Department of Mechanical Engineering, Payame Noor University, Tehran, Iran

\* P.O.B. 5166616471, Tabriz, Iran, mshalvandi@tabrizu.ac.ir

### ARTICLE INFORMATION

Original Research Paper

Received 18 February 2018

Accepted 15 April 2018

Available Online 17 May 2018

#### Keywords:

Ultrasonic vibration

Tensile Test

Acoustic Softening

microstructure

### ABSTRACT

Vibration waves with frequencies greater than 20 kHz, known as ultrasonic vibrations, are used in many manufacturing and engineering processes. This paper studies the occurrence of acoustic softening in steel specimens with three different microstructures. For this purpose, specimens with bainite and martensitic microstructures were created by Austempering and Quench heat treatments. The final dimensions of these specimens were obtained with Modal finite element analysis using ANSYS software so that the resonance frequency of the specimen is equal to the resonance frequency of transducer. Given that ultrasonic vibration induces a tension called vibrational stress to the crystal, this stress causes movement of dislocations and reduces the yield strength of specimens. In this paper 55 w / cm<sup>2</sup> ultrasonic vibration, 18%, 12% and 8% yield strengths of specimens are reduced with ferrite-perlite, bainite and martensitic microstructure. Due to the absorption of vibrational energy by dislocation, the metal forming of these materials takes place with less energy. Also, in this paper, a numerical model for acoustic softening was investigated and it was found that there is a good correlation between numerical modeling and experimental e results.

مهمی است که توجه محققین و پژوهشگران را به خود جلب کرده است. لانگنکر (1966) به بررسی اثر اعمال ارتعاشات اولتراسونیک بر استحکام ماده پرداخته است. در این تحقیق برای مشاهده پدیده نرم شدگی آکوستیکی مواد از ارتعاشاتی با فرکانس 15 kHz تا 1MHz استفاده شده است. لانگنکر در این تحقیق به بررسی دو پدیده غیرخطی در مواد پرداخت که اولی نرم شدگی آکوستیکی و دومی سخت شدگی آکوستیکی است [1].

پدیده نرم شدگی آکوستیکی در اثر اعمال ارتعاشات به نمونه‌ها ایجاد می‌شود و سخت شدگی آکوستیکی پس از اعمال ارتعاشات و به دلیل انجام

با توجه به افزایش استفاده از ارتعاشات اولتراسونیک در فرآیندهای ساخت، بررسی اثرات و تغییرات متالورژیکی و مکانیکی مواد در اثر اعمال ارتعاشات اولتراسونیک از اهمیت ویژه‌ای برخوردار است. یکی از عوامل گسترش استفاده از ارتعاشات اولتراسونیک در فرآیندها، وقوع پدیده نرم شدگی آکوستیکی است و با اعمال ارتعاشات اولتراسونیک با شدت مناسب (دامنه و فرکانس) استحکام تسلیم و نهایی مواد مختلف کاهش می‌یابد. پدیده نرم شدگی آکوستیکی و بررسی آن در شرایط مختلف، یکی از زمینه‌های تحقیقاتی

### - مقدمه

با توجه به افزایش استفاده از ارتعاشات اولتراسونیک در فرآیندهای ساخت، بررسی اثرات و تغییرات متالورژیکی و مکانیکی مواد در اثر اعمال ارتعاشات اولتراسونیک از اهمیت ویژه‌ای برخوردار است. یکی از عوامل گسترش استفاده از ارتعاشات اولتراسونیک در فرآیندها، وقوع پدیده نرم شدگی آکوستیکی است و با اعمال ارتعاشات اولتراسونیک با شدت مناسب (دامنه و فرکانس) استحکام تسلیم و نهایی مواد مختلف کاهش می‌یابد. پدیده نرم شدگی آکوستیکی و بررسی آن در شرایط مختلف، یکی از زمینه‌های تحقیقاتی

دانه 38 میکرون و 15 میکرون، به ترتیب 29.16 و 56.19 درصد کاهش در استحکام تسلیم گزارش شد [5]. صدیق و ساید پدیده نرم شدگی آکوستیکی را در فلزات تک کریستاله همچون آلومینیوم بررسی و شبیه‌سازی نموده‌اند و عنوان کردند که همبستگی مناسبی بین روش تجربی و روش آنالیز المان محدود در تست نرم شدگی آکوستیکی آلومینیوم تک کریستاله وجود دارد [6].

در این پژوهش وقوع پدیده نرم شدگی آکوستیکی در نمونه‌های فولادی با میکروساختارهای متفاوت (فریتی-پرلیتی، بینیتی و همچنین مارتزیتی) بررسی شده است تا تأثیر ارتعاشات اولتراسونیک اعمالی بر استحکام تسلیم نمونه‌ها در تست کشش بررسی شده و نتایج آزمایش‌های تجربی با مدل عددی موجود برای پدیده نرم شدگی آکوستیکی مقایسه شوند.

## 2- انتخاب مواد و تهیه نمونه‌ها

در پژوهش حاضر از فولاد CK45 (1.1191) برای نشان دادن تأثیر ریزساختار استفاده شد. فولاد مذبور از پرکاربردترین فولادها در صنایع مختلف از جمله صنایع کشتی‌سازی و قالب‌سازی و ماشین‌کاری است. آنالیز شیمیایی فولاد مورد آزمایش توسط تست کوانتمتری به دست آمد که نتیجه آن در جدول‌های 1 و 2 آورده شده است.

خواص مکانیکی فولاد 1.1191 بر استاندارد ASTM در جدول 2 آورده شده است.

## 3- آزمایش‌های تجربی

### 3-1- عملیات حرارتی

براساس روش پیشنهادی استاندارد ASM برای به دست آوردن ریزساختارهای مختلف در نمونه‌ها، عملیات حرارتی آستمپرینگ و کوئنج انجام گردید. ابتدا نمونه‌ها به سه گروه تقسیم شدند. با توجه به این که گروه اول حاوی ساختار فریتی و پرلیتی است لذا بدون انجام هیچ نوع عملیات حرارتی، به عنوان نمونه آزمایشی در نظر گرفته شده‌اند. گروه دوم نمونه‌ها جهت ایجاد ساختار بینیت از فولاد 1.1191 مطابق نمودار تعادلی این فولاد و استاندارد ASM در داخل کوره با نرخ 7 درجه سانتی گراد قرار داده شدند، ابتدا به دمای آستانتی 860 درجه رسانیده شده و به مدت 1.5 ساعت در این دما نگهداری شدند و بعد از این مدت و ایجاد فاز آستانتی، نمونه‌ها بالا فصله در

جدول 1 ترکیب شیمیایی فولاد CK45

Ni	Si	Mn	C	عنصر
0.56	0.214	0.76	0.437	درصد
Fe	Cu	Cr	Mo	عنصر
98.347	0.021	0.46	0.05	درصد

جدول 2 خواص مکانیکی فولاد 1.1191

خواص	استحکام تسلیم	استحکام نهایی	تغییر طول (%)	(HRC)
- فریت	537	672	26	22
پرلیتی	589	899	22	38
بینیتی	1193	1484	3	52

زمان کمتر از 10 ثانیه به داخل کوره حمام نمک که در دمای 420 درجه سانتی گراد قرار داشت، انتقال داده شدند و به مدت 2 ساعت در این دما

کار سرد در مواد ظاهر می‌شود. لاتگنکر از شدت‌های مختلف اولتراسونیک در بازه 15 تا 50 وات بر سانتی‌متر مریع استفاده کرد و نمونه‌های استاندارد آزمون کشش با مقطع دایره تهیه گردیده بود و همزمان با عمل آزمون کشش در دستگاه کشش، ارتعاشات اولتراسونیک نیز به نمونه‌ها اعمال می‌شد. نتایج این تحقیق نشان داد با اعمال ارتعاشات اولتراسونیک با شدت 15 وات بر سانتی‌متر مریع استحکام تسلیم و استحکام کششی آلومینیوم به مقدار 35 درصد کاهش می‌یابد و با افزایش شدت امواج اولتراسونیک به 35 وات بر سانتی‌متر مریع استحکام تسلیم 70 درصد کاهش می‌یابد [1]. تانگ ون و همکاران (2011) به بررسی تأثیر ارتعاشات اولتراسونیک بر روی تغییر شکل پلاستیک منیزیم AZ31 در فرایند آزمون کشش پرداخته‌اند [2]. در این تحقیق فرکانس کاری 15 کیلوهertz و توان 2 کیلووات انتخاب شده بود. با انجام آزمون کشش آلبیز منیزیم AZ31، آشکار شد که ارتعاشات اولتراسونیک (تأثیر حجمی) بر کاهش تنفس لازم جهت تغییر شکل تأثیر می‌گذارد. محققین دو تأثیر مخالف هم یعنی نرم شدگی و سخت شدگی آکوستیکی را مشاهده کردند. همچنین مشخص شد که اگر دامنه ارتعاشات با انرژی ارتعاش اعمالی به نمونه کشش، کمتر باشد نرم شدگی آکوستیکی تأثیر غالب خواهد داشت و در این حالت استحکام AZ31 کاهش خواهد یافت و شکل پذیری آن راحت‌تر خواهد بود ولی اگر دامنه ارتعاشی بیشتر باشد، سخت شدگی آکوستیکی اتفاق می‌افتد و استحکام ماده افزایش می‌یابد و شکل پذیری آن به مرأت سخت‌تر می‌شود [2]. محققین اذعان داشتند به محض شروع شدن ارتعاشات اولتراسونیک، مقاومت بر بشی برای تمایی نمونه‌ها کاهش یافت. زمانی که انرژی ارتعاشی افزایش یافت، مقاومت در برابر تغییر شکل نمونه‌ها به طور کامل کاهش نیافت. همچنین با افزایش دامنه ارتعاش، پدیده سخت شدگی آشکارتر شد. یائو و همکاران (2012) به بررسی اثر نرم شدگی و سخت شدگی آکوستیکی در آلومینیوم پرداختند و برای بررسی نرم شدگی آکوستیکی از تئوری فعالیت دمایی و برای بررسی سخت شدگی آکوستیکی از تئوری ارزیابی نابجایی‌ها استفاده کردند [3]. یائو و همکاران بیان کردند که نرم شدگی آکوستیکی با دامنه ارتعاشات رابطه دارد و همچنین سخت شدگی آکوستیکی متناسب با دامنه ارتعاش و مدت زمان اعمال ارتعاش است و همچنین آن‌ها مدل عددی مناسب برای وقوع پدیده نرم شدگی آکوستیکی را بیان کردند. شلوندی و همکاران (2012) به بررسی رفتار نرم شدگی آکوستیکی مواد در اثر اعمال ارتعاشات اولتراسونیک پرداختند [4]. در این تحقیق اثر اعمال ارتعاشات اولتراسونیک بر روی فولاد کربنی ساده و فولاد ضدزنگ بررسی شده است. دامنه ارتعاشات اعمالی برابر با 10 میکرون بوده و از ارتعاشات با شدت 42 و 84 وات بر سانتی‌متر مریع برای استفاده شده توسط محققین برابر با 300 و 600 وات هست. نتایج آزمایش‌ها تجربی نشان داده که با اعمال ارتعاشات 300 وات، تنفس تسلیم نمونه‌های فولاد ضدزنگ حداقل تا 32 درصد و با اعمال ارتعاشات با توان 600 وات، حداقل تا 44 درصد کاهش می‌یابد [4]. احمدی و همکاران به بررسی تأثیر اندازه دانه در نرم شدگی آکوستیکی آلومینیوم خالص پرداختند. احمدی برای این آزمون، هورن مناسب طراحی کرده و قطعه آلمینیومی را با اندازه دانه‌بندی متفاوت درست کردند، برای این کار فرکانس 20kHz و اندازه دانه‌های 109, 7, 15, 38, 109 میکرون و همچنین مقدار دامنه ارتعاشات ورودی 5 میکرون انتخاب شد. نتایج نشان داد در نمونه‌هایی با اندازه دانه بزرگ (109 میکرون) استحکام تسلیم به مقدار حدوداً 66 درصد و در نمونه‌ها با اندازه دانه کوچک‌تر (0.97 میکرون)، استحکام تسلیم به مقدار حدوداً 11.3 درصد کاهش می‌یابد. همچنین برای نمونه‌هایی با اندازه

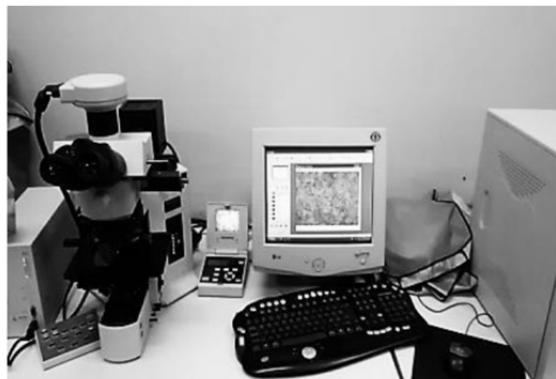


Fig. 3 Metallographic equipment for viewing of microstructures

شکل 3 تجهیزات متالوگرافی جهت مشاهده ریزساختارهای فولاد



Fig. 4 Steel (1.1191) with Microstructure of Martensite

شکل 4 فولاد (1.1191) با میکرو ساختار مارتزیتی

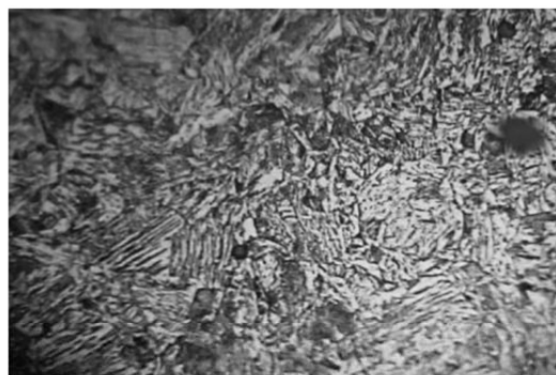


Fig. 5 Steel (1.1191) with Microstructure of Bainite

شکل 5 فولاد (1.1191) با میکرو ساختار بینیتی

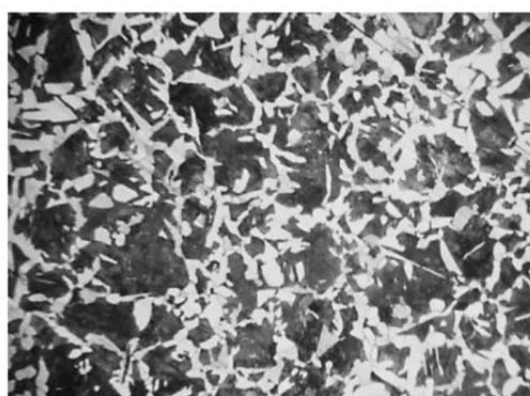


Fig. 6 Steel (1.1191) with Microstructure of Ferrite-Perlite

شکل 6 فولاد (1.1191) با میکرو ساختار فریتی-پرلیتی

نگهداری شده سپس در هوا خنک گردیدند [7]. با انجام چنین سیکل عملیات حرارتی و متالوگرافی نمونه شاخص، مشخص گردید که نمونه دارای فاز بینیتی است. در عملیات حرارتی گروه سوم، براساس روش پیشنهادی استاندارد ASM ، نمونه‌ها پس از گرم شدن در کوره با نرخ 7 درجه سانتی- گراد در هر دقیقه و نگهداری به مدت 1 ساعت در دمای 860 درجه، بالاصله از کوره خارج گردیده و به داخل روغن نسوز انداخته سپس به آرامی در هوا آزاد خنک شدند [8]. با انجام این عملیات حرارتی کوئنچ کردن، نمونه‌هایی با ساختار مارتزیتی به دست آورده شده است "شکل 1 و 2" نمودار تعادلی این فولاد و سیکل عملیات حرارتی انجام گرفته بر روی نمونه‌ها را نشان می‌دهد.

بعد از انجام سیکل‌های عملیات حرارتی کوئنچ و آستمپرینگ، متالوگرافی نمونه‌ها جهت حصول اطمینان از ایجاد میکروساختارهای مدنظر انجام گردید. "شکل 3" نشان‌دهنده تجهیزات متالوگرافی و نحوه مشاهده ریزساختار بوده و "شکل‌های 4 تا 6" تصاویر متالوگرافی نمونه‌های شاخص را نشان می‌دهند [9].

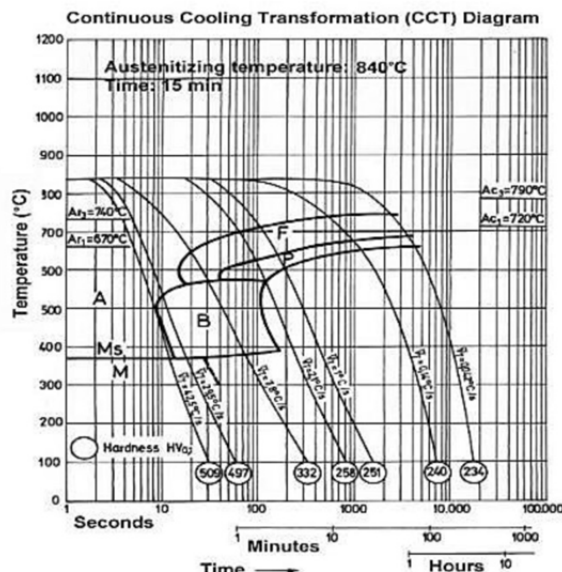


Fig. 1 Time-Temperature Transformation Diagram of 1.1191[7]

شکل 1 نمودار TTT فولاد 1.1191

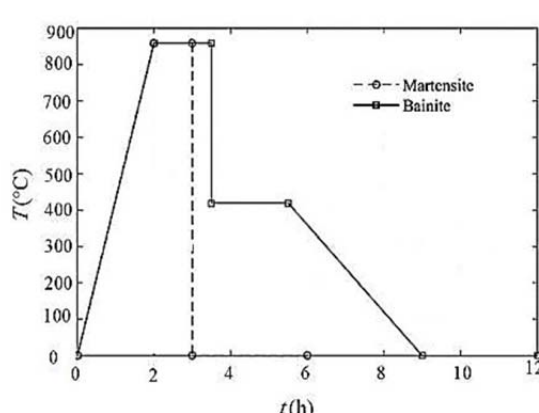


Fig. 2 Heat Treatment cycle performed on 1.1191

شکل 2 سیکل عملیات حرارتی انجام گرفته بر روی فولاد 1.1191

#### 4- انجام تست کشش

با توجه به نتیجه به دست آمده در تحلیل المان محدود که در "شکل 7" آورده شده است و همچنین الزامات طراحی آزمون کشش براساس استاندارد ASTM، نمونه آزمون به صورت "شکل 8" طراحی و ساخته شد که دامنه ارتعاشات طبق "شکل 9" در وسط نمونه دارای دامنه حداکثری است. برای ایجاد و انتقال ارتعاشات از ترانس迪وسر با منباع تغذیه 1000 واتی استفاده گردیده است. در تست‌های انجام گرفته به منظور بررسی پدیده نرم شدگی آکوستیکی، ارتعاشات اولتراسونیک در تمام مدت کشش به نمونه اعمال گردید. ارتعاشات با شدت 55 وات بر سانتی مترمربع به نمونه‌ها اعمال گردید برای بررسی پدیده نرم شدگی آکوستیکی در تست کشش، فیکسچر مناسبی جهت گرفتن نمونه‌ها از محل گره‌ها و قرارگیری مناسب ترانسdiوسر و انتقال ارتعاشات بارندمان بالا، به کار گرفته شده است. به منظور یافتن فرکانس رزونانس طولی مجموعه پس از مونتاژ کامل آن جستجوی فرکانسی انجام شد و فرکانس رزونانس طولی 19760 هرتز به دست آمد که در "شکل 10" آورده شده است و همچنین "شکل 11" مجموعه آزمایشی تهیه را نمایش می‌دهد.

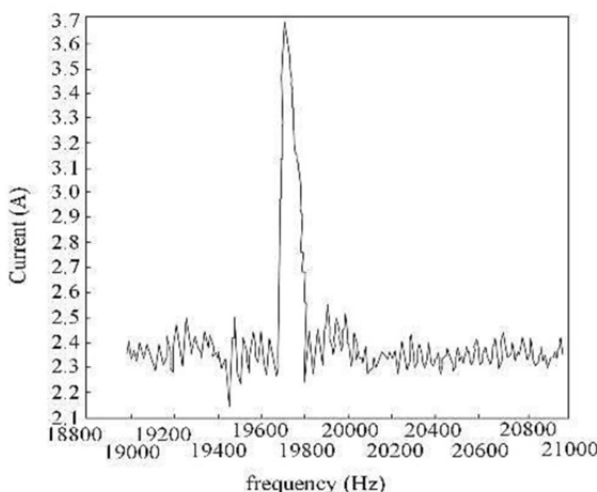


Fig. 10 Analysis of resonance frequency in assembly of ultrasonic and Tensile Test specimen

شکل 10 آنالیز فرکانس رزونانس مجموعه ارتعاشی (نمونه تست کشش و ترانسdiوسر)

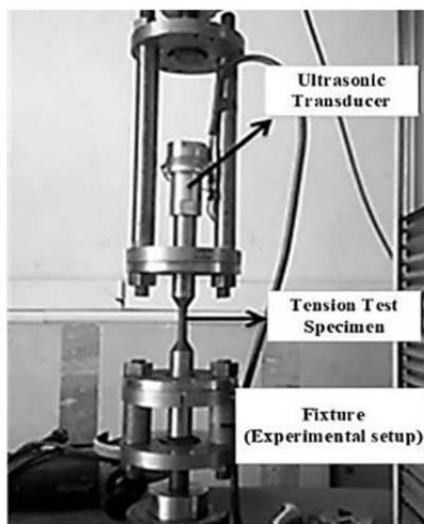


Fig. 11 Experimental setup for acoustic softening evaluation

شکل 11 مجموعه آزمایش تجربی برای ارزیابی پدیده نرم شدگی آکوستیکی

#### 3-2- تحلیل و طراحی نمونه آزمون کشش

در این پژوهش از ترانسdiوسر با توان 1 کیلووات و فرکانس رزونانس 20kHz برای ایجاد و انتقال ارتعاشات به نمونه فولادی در تست کشش استفاده شد و برای این که حداکثر بازده و همچنین حداکثر انتقال ارتعاشات در نمونه به وجود آید، ابعاد نهایی نمونه توسط تحلیل المان محدود مودال، به گونه‌ای طراحی شد که فرکانس رزونانس نمونه با فرکانس رزونانس ترانسdiوسر، برابر باشد. با توجه به این که ترانسdiوسر مورداستفاده از قبل طراحی و ساخته شده بود، بنابراین فرکانس رزونانس نمونه را 20kHz در نظر گرفته و آنالیز مودال به صورت شبیه‌سازی المان محدود انجام شد و جهت تحلیل المان محدود از نرم‌افزار انسیس با المان سه‌بعدی 186 برای مشیندی استفاده گردید که نتیجه تحلیل در "شکل 7" آورده شده است. همچنین "شکل 8" نشان‌دهنده بعد نمونه فولادی جهت تست نرم شدگی آکوستیکی است که قطر قسمت‌های مختلف طبق دستورالعمل استاندارد ASTM تعیین شده است و طول‌های مجاز به تغییر، با استفاده از شبیه‌سازی اجزا محدود به گونه‌ای تعیین شد تا در نمونه تشید اتفاق افتد.

با توجه به این که با تغییر سطح مقطع، دامنه ارتعاشات نیز تغییر می‌کند بنابراین دامنه ارتعاشات در وسط نمونه 6.25 برابر دامنه ارتعاشات در ابتداء و انتهای نمونه است. "شکل 9" نشان‌دهنده تغییرات دامنه ارتعاشات در طول نمونه در مقاطع مختلف است.

#### NODAL SOLUTION

```
STEP=1
SUB=7
FREQ=19998.1
USUM (AVG)
RSYS=0
DMX=1.63087
SMN=132202
SMX=1.63087
```

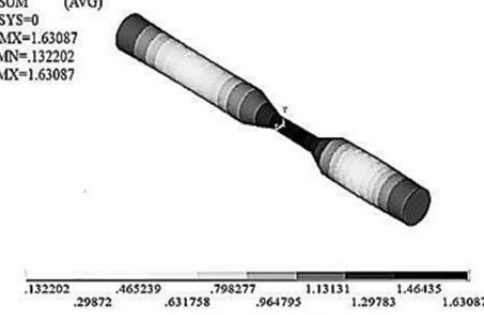


Fig. 7 Modal simulation of tension specimen designed for acoustic softening evaluation

شکل 7 شبیه‌سازی مودال نمونه تست کشش برای بررسی نرم شدگی آکوستیکی فولاد

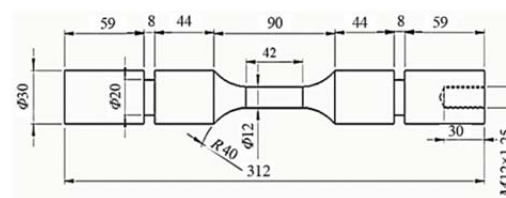
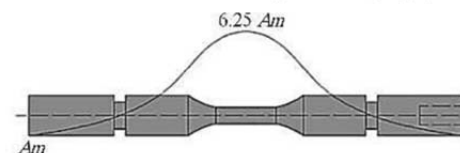


Fig. 8 The Final dimension of Tension specimen

شکل 8 ابعاد نهایی نمونه تست کشش [10]



شکل 9 Vibrations Amplitude at different sections

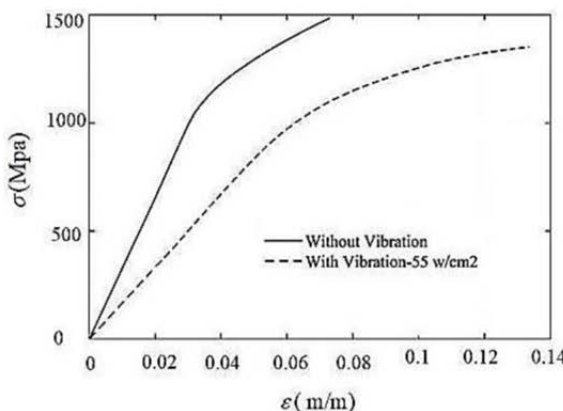
شکل 9 دامنه ارتعاشات در مقاطع مختلف

با اعمال ارتعاشات اولتراسونیک با شدت 55 وات بر سانتی‌مترمربع استحکام تسليم نمونه فولادی با ساختار بینیتی به مقدار 12 درصد کاهش می‌یابد. نتیجه به دست آمده در این نمودار را می‌توان با فولاد ضدزنگ بررسی شده در تحقیق شلوندی و همکاران مقایسه کرد که با اعمال ارتعاشات اولتراسونیک با شدت 42 وات بر سانتی‌متر مربع، به مقدار 32 درصد از تنش تسليم کاسته شد با مقایسه دیده می‌شود که دلیل کاهش بیشتر در فولاد ضدزنگ در تحقیق مزبور می‌تواند به دلیل بالا بودن مقدار تنش تسليم این فولاد باشد و می‌توان نتیجه گرفت که فولادهایی که مقدار تنش تسليم بالای دارند، با اعمال ارتعاشات اولتراسونیک افت بیشتری دیده می‌شود و در فرآیندهایی که به منظور تسهیل عملیات ماشین کاری از ارتعاشات اولتراسونیک استفاده می‌شود، فولادهایی که استحکام تسليم بیشتری دارند نرم شدگی آکوستیکی بیشتری پیدا می‌کنند و عملیات ماشین کاری آن‌ها راحت‌تر انجام می‌گیرد.

"شکل 14" نشان‌دهنده نمودار تنش و کرنش فولاد با میکروساختار مارتزیتی در دو حالت اعمال ارتعاشات و بدون اعمال ارتعاشات است.

با اعمال ارتعاشات اولتراسونیک با شدت 55 وات بر سانتی‌مترمربع استحکام تسليم نمونه فولادی با ساختار مارتزیتی به مقدار 8 درصد کاهش می‌یابد. نتیجه به دست آمده در این نمودار نشان می‌دهد که با اعمال ارتعاشاتی با شدت مشابه فولاد با ساختار بینیتی به مقدار 4 درصد بیشتر از فولاد با ساختار مارتزیتی، از خود کاهش استحکام تسليم نشان می‌دهد همچنین فولاد با ساختار فریت-پرلیتی، به مقدار 10 درصد بیشتر از فولاد مارتزیتی افت استحکام تسليم نشان داده است که به نظر می‌رسد این مسئله مربوط به نوع ریزساختار باشد زیرا ریزساختارهای مارتزیتی در مقابل تغییر شکل‌های پلاستیکی مقاومتی بیشتر از ریزساختارهای فریت-پرلیتی دارند و نتایج به دست آمده از آزمایش‌های مربوط به ریزساختار بینیتی بیانگر آن است که این ریزساختار مقاومتی بیشتر از ساختار فریت-پرلیتی و مقاومتی کمتر از ریزساختار مارتزیتی در برابر تغییر شکل دارد زیرا در پدیده نرم شدگی آکوستیکی افزایش دمای موضعی منجر به تغییر شکل‌های پلاستیکی موضعی می‌گردد و ساختارهایی که مقاومت بیشتری نشان دادند، افت کمتری داشته‌اند.

در ادامه این تحقیق، آزمایش سختی‌سنجی نمونه‌های فولادی انجام گرفت و مشخص گردید که نمونه‌ها با میکروساختار فریتی و پرلیتی دارای سختی HRC 22 و نمونه‌ها با میکروساختار بینیتی 38 و همچنین نمونه‌ها با میکروساختار HRC 52 می‌باشند. لذا می‌توان رابطه بین عدد



شکل 14 کاهش تنش در فولاد 1.1191 با میکروساختار مارتزیتی در اثر ارتعاشات اولتراسونیک

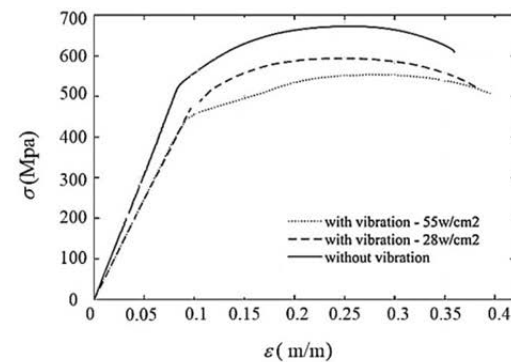
## 5- نتایج و بحث

### 5-1- نتایج آزمایشات تجربی

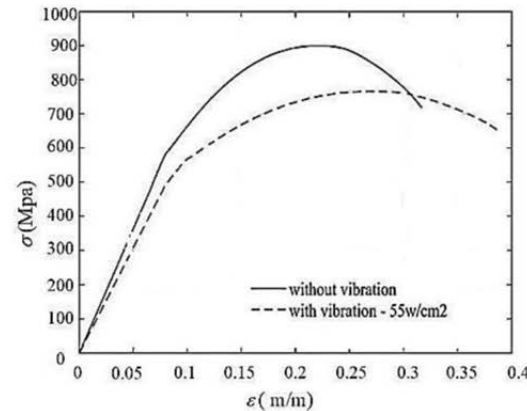
نمونه‌ها با ساختارهای مختلف به صورت جداگانه مورد آزمایش قرار گرفتند و نمودارهای تنش و کرنش در حالت بدون اعمال ارتعاشات اولتراسونیک و همچنین در حالت اعمال ارتعاشات اولتراسونیک با شدت‌های 55 و 28 وات بر سانتی‌متر مربع به دست آورده شده است.

"شکل 12" نشان‌دهنده مقایسه نمودار تنش و کرنش نمونه فولاد 1.1191 با میکروساختار پرلیتی و پرلیتی در دو شدت ارتعاشی 55 و 28 وات بر سانتی‌متر مربع نسبت به حالت بدون اعمال ارتعاشات است. همان‌طور که از شکل مشخص است با اعمال ارتعاشات اولتراسونیک با شدت 28 وات بر سانتی‌مترمربع استحکام تسليم فولاد با میکرو ساختار فریتی و پرلیتی به مقدار 10 درصد کاهش می‌یابد همچنین با افزایش شدت ارتعاشات از 28 به 55 وات بر سانتی‌متر مربع این کاهش استحکام تسليم به 18 درصد می‌رسد. برای مقایسه می‌توان به نتایج تحقیق انجام شده توسط لانگنک اشاره کرد که با افزایش شدت ارتعاشات اعمالی از 15 به 35 وات بر سانتی‌متر مربع در آلمینیوم کاهش استحکام تسليم از 35 درصد به 70 درصد افزایش می‌یابد بنابراین می‌توان مشاهده کرد که افزایش شدت ارتعاشات اعمالی در فولاد نیز مشابه با آلمینیوم، سبب کاهش بیشتر استحکام تسليم می‌شود اما این کاهش نسبت به آلمینیوم کمتر است.

"شکل 13" نمودار تنش و کرنش فولاد با ساختار بینیتی در دو حالت اعمال ارتعاشات و بدون اعمال ارتعاشات اولتراسونیک را نشان می‌دهد.



شکل 12 کاهش تنش در فولاد 1.1191 با میکرو ساختار فریتی و پرلیتی در اثر ارتعاشات اولتراسونیک



شکل 13 کاهش تنش در فولاد 1.1191 با میکروساختار بینیتی در اثر ارتعاشات اولتراسونیک

ضریب بولتمن  $e^9 \times e^9 = 10^7$  و  $K = 1.3807 \gamma_0^0 / \gamma_p^0 = 196.72$  GPa (مطابق ضرایب مدل عددی ارائه شده توسط محققین) برابر 196.72 GPa به دست می‌آید.

با استفاده از رابطه (5) مقدار  $\Delta\lambda$  محاسبه می‌گردد.

$$\Delta\lambda = \frac{\Delta\sigma}{M\tau} = \frac{54}{3.06 \times 196.72 \times 10^9} = 0.09 \quad (5)$$

مقدار  $E$  (دانسیته انرژی صوتی منتقل شده) از رابطه (6) محاسبه می‌شود با توجه به این که دامنه ارتعاشی در این آزمایش 4 میکرون و 8 میکرون است لذا مقدار این انرژی به صورت رابطه (6) خواهد بود.

$$E = (\text{دامنه})^2 \times (\text{فرکانس زویه ای}) \times (\text{چگالی فلز}) \quad (6)$$

$$E = 7850 * (2\pi \times 19.76)^2 \times (8 \times 10^{-6})^2 \quad (7)$$

درنهایت مقادیر به دست آورده شده در عبارت  $(E/\tau)^{0.5}$  (جاگذاری می‌شوند و به صورت رابطه (8) نوشته می‌شود

$$\left(\frac{E}{\tau}\right)^{0.5} = \left(\frac{7.74 \times 10^{10}}{196.72 \times 10^9}\right)^{0.5} = 0.6274 \text{ J/m}^3 \quad (8)$$

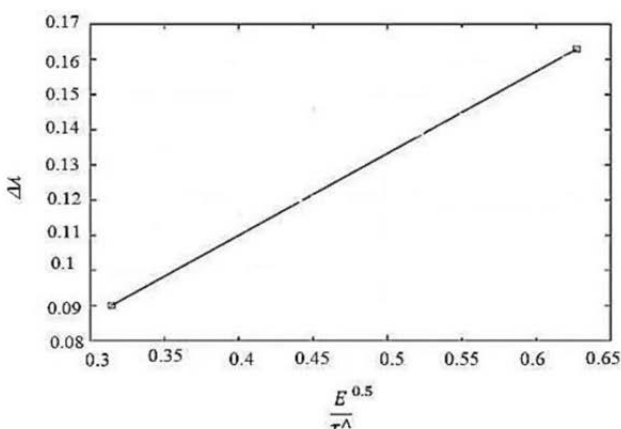
پارامتر  $\beta$  همان شب نمودار  $(E/\tau)^m$  برحسب  $\Delta\lambda$  بوده، همچنین مقدار ثابت  $m$  برابر 0.5 و فاکتور تیلور ( $M$ ) نیز 3.06 در نظر گرفته شده است. "شکل 16" نشان‌دهنده نمودار  $(E/\tau)^{0.5}$  برحسب  $\Delta\lambda$  برای فولاد 1.1191 است که مطابق آزمایش‌های تجربی تست کشش برای فولاد با ساختار فریتی و پرلیتی است. با استفاده از نمودار "شکل 16" و جدول 3 که نشان‌دهنده مقادیر پارامترهای مجھول مدل عددی می‌باشد می‌توان مدل عددی نرم شدگی آکوستیکی برای فولاد 1.1191 با ریزساختار فریتی و پرلیتی را به صورت معادله رابطه (9) بیان کرد.

$$\sigma_{\text{acoustic}} = -0.24 M \tau \left(\frac{E}{\tau}\right)^{0.5} \quad (9)$$

طبق جدول 3 مقدار کاهش استحکام تسیلیم فولاد در آزمایش‌های تجربی با اعمال ارتعاشات اولتراسونیک باشد 28 و 55 وات بر سانتی مترمربع به ترتیب 54 و 98 مگاپاسکال می‌باشد که این کاهش استحکام تسیلیم در مدل سازی عددی به ترتیب 46 و 90 مگاپاسکال است.

جدول 3 نتایج محاسبات دانسیته انرژی صوتی و نرخ تنش.

Table 3 Calculation results of acoustic energy density and stress ratio					
$\Delta\sigma$	$\left(\frac{E}{\tau}\right)^{0.5}$	$\tau$ (Gpa)	B (nm)	$\Delta\lambda$	$\Delta S_{yt}$
46	0.3142	196.72	0.252	0.09	54
90	0.6274	196.72	0.252	0.163	98
					28
					55



شکل 16 نمودار نرخ تنش و دانسیته انرژی صوتی فولاد با ساختار فریتی و پرلیتی

سختی فولاد و کاهش استحکام تسیلیم در این پژوهش را به صورت "شکل 15" ترسیم نمود.

## 5-2-مدل سازی عددی

در این بخش مدل سازی ارائه شده توسط محققین برای نرم شدگی آکوستیکی آورده می‌شود مدل موجود بر پایه تغییرات دمایی و تغییر شکل پلاستیک کریستال فلز توسط محققین ارائه شده است [3]. برای استفاده از این مدل عددی ضروری است، از نتایج تجربی تست کشش برای محاسبه پارامترهای مدل عددی پرداخته شود. مدل ارائه شده توسط یائو، کاهش تنش تسیلیم ( $\Delta\lambda$ ) برحسب دانسیته انرژی صوتی ( $E$ ) و نرخ تنش را نشان می‌دهد.

$$\Delta\lambda = -\beta \frac{E^m}{\tau} \quad (1)$$

در این معادله  $\beta$  و  $m$  ضرایبی هستند که از آزمایش‌های تجربی به دست می‌آیند.  $\lambda$  نرخ تنش هست که از عبارت  $\tau / \tau$  محاسبه می‌شود. آستانه مکانیکی مواد است که از رابطه (2) محاسبه می‌شود.

$$\tau = \tau / \left[ 1 - KT \ln \left( \frac{\gamma_0^0}{\gamma_p^0} \right) / \Delta F \right] \quad (2)$$

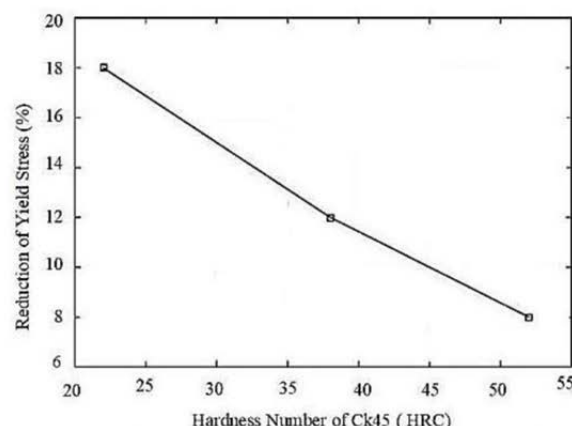
در این رابطه،  $K$  ضریب بولتمن،  $T$  درجه دمای کلوین،  $\gamma_0^0$  فاکتور پیش تشریحی ارائه شده در مدل است که مقدار آن  $10^6$  است. همچنین  $\gamma_p^0$  نرخ کرنش پلاستیکی است که مقدار آن 0.1 است.  $\Delta F$  انرژی اکتیواسیون هست که از رابطه (3) محاسبه می‌گردد.

$$\Delta F = 0.5Gb^3 \quad (3)$$

در این رابطه،  $G$  مدول برشی فولاد (78 گیگاپاسکال) و  $b$  طول بردار برگز می‌باشد. با توجه به مدل موجود، می‌توان مقدار نرم شدگی آکوستیکی را از رابطه (4) به دست آورد.

$$\sigma_{\text{acoustic}} = -\beta M \tau \left(\frac{E}{\tau}\right)^m \quad (4)$$

کاهش استحکام تسیلیم فولاد در تست تجربی و در اثر اعمال ارتعاشات اولتراسونیک است. با توجه به رابطه  $M = S_{yt}/\tau$  با در دست داشتن استحکام تسیلیم و فاکتور تیلور، مقدار تنش برشی آن 196.72 GPa به دست می‌آید. مقدار انرژی اکتیواسیون از رابطه (3) و با در دست داشتن  $G = 78 \times 10^9$  و طول بردار برگز برابر فولاد  $b = 0.225 \times 10^{-9}$  ژول به دست می‌آید. مقدار آستانه مکانیکی  $\tau$  نیز از رابطه (2) و با در دست داشتن



شکل 15 واستگی کاهش استحکام تسیلیم (نرم شدگی آکوستیکی) و عدد سختی فولاد

یکی از مکانیسم‌های تأثیر ارتعاشات اولتراسونیک بر ساختار ماده و قوی نرم شدگی آکوستیکی، حرکت نابجایی‌ها است. در نمونه‌ها با ساختار مارتنزیتی بیشترین مقدار نابجایی‌ها وجود دارد ولی کمترین مقدار وقوع پدیده نرم شدگی آکوستیکی اتفاق افتاد علت این اتفاق هم این است که با بیشتر شدن مقدار نابجایی‌ها، هر نابجایی توسعه نابجایی‌های مجاور خود قفل می‌شود و اجازه حرکت گرفته می‌شود و همچنین انرژی ارتعاشاتی در واحد طول، کاهش می‌یابد. درنهایت تأثیر اعمال ارتعاشات اولتراسونیک و قوی نرم شدگی آکوستیکی کاهش می‌یابد.

## 7- تقدیر و تشکر و پیوست‌ها

نویسنده‌گان از همکاری شرکت آذرمتال تبریز و شرکت فناوران حديد گستر تبریز و همچنین آزمایشگاه تحلیل صنعت سهند تبریز تقدیر و تشکر می‌نمایند.

## 8- مراجع

- [1] B. Langenecker, effects of ultrasound on deformation characteristics of metals. *IEEE Transactions on Sonics and Ultrasonics*, Vol. 13, No. 1, pp. 1-8, 1966.
- [2] T. Wen, L. Wei, X. Chen, C. I. Peiet, Effects of ultrasonic vibration on plastic deformation of AZ31 during the tensile process. *International Journal of Minerals, Metallurgy, and Materials*, Vol. 18, No. 1, pp. 70-76, 2011.
- [3] Z. Yao, G. Y. Kim, Z. Wang, Z. Chen, Acoustic softening and residual hardening in aluminum: Modeling and experiments, *International Journal of Plasticity*, Vol. 39, pp. 75-87, 2012.
- [4] M. Shalvandi, Y. Hojjat, A. Abdullah, H. Asadi, Influence of ultrasonic stress relief on stainless steel 316 specimens: A comparison with thermal stress relief, *Materials & Design*, Vol. 46, pp. 713-723, 2013.
- [5] F. Ahmadi, M. Farzin, M. Mandegari, Effect of grain size on ultrasonic softening of pure aluminum, *Ultrasonics*, Vol. 63, pp. 111-117, 2015.
- [6] A. Siddiq, T. E. Sayed, Acoustic softening in metals during ultrasonic assisted deformation via CP-FEM, *Materials Letters*, Vol. 65, No. 2, pp. 356-359, 2011.
- [7] S. M. Copley, *Heat treating*, E. L. Langer, *ASM Handbook*, Vol. 4, pp 367-412, 2004.
- [8] S. M. Copley, *Heat treating*, E. L. Langer, *ASM Handbook*, Vol. 4, pp 160-211, 2004.
- [9] S. M. Copley, *Metallography and Microstructures*, E. L. Langer, *ASM Handbook*, Vol. 9, pp. 617-621, 2004.
- [10] A. Standard, E8-04, *Standard Test Methods for Tension Testing of Metallic Materials*, *ASTM Handbook*, 2004.

شایان ذکر است بهدلیل این که برای افزایش شدت ارتعاشات اعمالی، توان اعمالی زیاد می‌شود و از آنجا که افزایش توان ارتعاشات همراه با افزایش دامنه ارتعاشات است، لذا می‌توان گفت اثر دامنه ارتعاشات نیز بهمانند اثر شدت ارتعاشات اعمالی است.

## 6- نتیجه گیری

با توجه به این که یکی از اهداف این تحقیق بررسی اثر شدت ارتعاشات اولتراسونیک بر روی نرم شدگی آکوستیکی بود لذا استحکام تسلیم و نهایی فولاد در دو حالت بدون اعمال و همچنین با اعمال ارتعاشات اولتراسونیک موبدبررسی قرار گرفت. نتایج به دست آمده نشان داد که با اعمال ارتعاشات اولتراسونیک با شدت  $55\text{W/cm}^2$  به میزان 18 درصد از استحکام تسلیم فولاد فریت و پرلیتی کاسته می‌شود در همین فولاد با اعمال ارتعاشات اولتراسونیک با شدت  $8\text{W/cm}^2$  استحکام تسلیم 10 درصد کاهش می‌یابد. همچنین در همان شدت‌های ارتعاشی 18 و 12 درصد از استحکام نهایی فولاد مذبور کاسته می‌شود. در فولاد با ساختار مارتنزیتی با اعمال ارتعاشات با شدت